



ANEXO II: DATOS DE TRÁFICO Y TRAYECTORIAS

1. COMPOSICIÓN DE LA FLOTA. AEROPUERTO DE JOSEP TARRADELLAS BARCELONA-EL PRAT

La base de datos ANP, citada en el apartado de número de operaciones y composición de la flota, además de proporcionar el representante ANP correspondiente a un código OACI de avión, recoge un factor de corrección (FC) que representa la configuración de avión más ruidosa para cada pareja OACI/ANP, tanto para las operaciones de despegue como en las de aterrizaje.

Se incluye a continuación los factores de corrección para las operaciones realizadas en el aeropuerto proporcionados por la base de datos ANP. Estos factores se establecen en base a un número de movimientos equivalentes para cada tipo de operación de aterrizaje o despegue en función del tipo de aeronave.

Tabla AII. 1. Factores de corrección por operación de la base de datos ANP por modelo de aeronave. Aterrizajes (N_APP) y despegues (N_DEP)

OACI	CÓDIGO AEDT	N_APP	N_DEP
A140	HS748A	0,68	0,49
A20N	A320-211	0,45	0,21
A20N	A320-232	0,63	0,45
A21N	A321-232	0,85	0,43
A306	A300-622R	1,05	1,02
A30B	A300B4-203	1,07	1
A310	A310-304	2,04	1,78
A318	A319-131	0,91	1,51
A319	A319-131	1,07	1,58
A320	A320-211	1	1,05
A320	A320-232	1,66	1,7
A321	A321-232	1,38	2,24
A332	A330-301	1,17	1,58
A332	A330-343	1,02	1,12
A333	A330-301	1,2	1,58
A333	A330-343	1,02	1,12
A339	A330-343	1	1
A342	A340-211	1	1,32
A343	A340-211	1,02	1,35
A359	A350-941	1	1,05
A35K	A350-941	1,05	2
A388	A380-861	1,02	1,07
AN26	CVR580	1,78	1,82

OACI	CÓDIGO AEDT	N_APP	N_DEP
ASTR	IA1125	1	1
AT43	DHC8	1,7	0,62
AT72	HS748A	1,05	0,38
AT75	HS748A	0,68	0,12
AT76	DHC830	1	1
B190	1900D	1	1
B350	DHC6	1	1
B38M	7378MAX	1	1,05
B463	BAE300	1	1
B733	7373B2	1,05	1
B734	737400	1	1
B735	737500	1,82	1,91
B736	737700	1	0,79
B737	737700	1,1	1,41
B738	737800	1,1	1,15
B739	737800	1,05	1,32
B744	747400	1,15	1
B748	7478	1,15	1
B752	757PW	1,29	2,69
B752	757RR	3,24	1,29
B762	767CF6	1,05	1,66
B763	767300	2,14	1,32
B764	767400	1	1
B772	777200	1,35	1,74
B773	777300	1,17	1,12
B77L	7773ER	0,95	0,95
B77W	7773ER	1	1
B788	7878R	2,95	2,04
B789	7878R	1,91	2,09
B78X	7878R	1	1
BCS1	737500	0,26	0,45
BCS3	737700	0,45	0,35
BE20	DHC6	1	1
BE30	DHC6	1	1
BE35	GASEPV	1	-
BE40	MU3001	1,07	1,07

OACI	CÓDIGO AEDT	N_APP	N_DEP
BE4W	MU3001	1	1
BE50	BEC58P	1	1
BE9L	CNA441	1	1
C130	C130	1	1
C150	CNA172	1	1
C172	CNA172	1	1
C208	CNA208	1	1
C25A	CNA525C	1,55	0,56
C25B	CNA525C	0,81	0,59
C25C	CNA525C	1	1
C25M	CNA525C	1	1
C421	BEC58P	1	1
C425	CNA441	1	1
C501	CNA500	1,58	0,58
C510	CNA510	1	1
C525	CNA525C	1,05	1,02
C550	CNA55B	1	3,98
C550	CNA560U	1,12	1,17
C55B	CNA55B	1	1
C560	CNA560E	3,16	0,13
C560	CNA560U	2,09	1,05
C56X	CNA560XL	1	1,29
C650	CIT3	1,38	1,12
C680	CNA680	1	1,29
C68A	CNA680	1	1
C700	CNA680	1	1
C750	CNA750	1	1
CL30	CL600	0,69	0,51
CL35	CL600	1	1
CL60	CL601	1,02	1,2
CRJ2	CL601	1,32	0,71
CRJ9	CRJ9-ER	1,2	1,26
CRJX	CRJ9-LR	1,23	1,26
D228	DO228	1	1
D328	DO328	1	1
DA62	BEC58P	1	1

OACI	CÓDIGO AEDT	N_APP	N_DEP
DH8D	DHC830	1	0,71
E120	EMB120	1	1
E135	EMB145	0,93	1,2
E145	EMB145	1	1,02
E170	EMB170	1,05	1,15
E190	EMB190	1	1
E195	EMB195	1	1
E290	EMB190	1	1
E295	EMB195	1	1
E35L	CNA55B	1	1
E50P	CNA510	1,02	0,47
E545	CNA750	0,91	1,48
E550	CNA55B	1	1
E55P	CNA560XL	0,38	1,35
E75L	EMB175	1,05	1,17
E75S	EMB175	1,05	1,17
EA50	ECLIPSE500	1	1
F100	F10065	1	1,1
F2TH	CL600	2,4	1,82
F2TH	CL601	0,95	2,57
F406	DHC6	-	1
F900	EMB14L	0,95	2,14
FA10	LEAR35	2	0,74
FA50	FAL20	0,55	1,05
FA7X	CRJ9-ER	1,05	1,26
FA8X	GIV	1	1
G150	IA1125	1	1,48
G280	EMB145	0,62	0,98
GA5C	GV	1	1
GA6C	GV	1	1
GALX	EMB145	1,02	1,41
GL5T	GV	0,78	1,1
GL7T	BD-700-1A10	1	1
GLEX	F10065	0,47	0,85
GLF4	GIV	1	1
GLF5	GV	1,02	1,02

OACI	CÓDIGO AEDT	N_APP	N_DEP
GLF6	G650ER	1	1
H25B	IA1125	2,88	5,75
H25C	IA1125	0,93	0,89
HDJT	CNA55B	0,43	0,93
J328	CNA750	1	1
LJ31	LEAR35	1,23	1
LJ35	LEAR35	1,12	1,41
LJ40	LEAR35	1	1
LJ45	LEAR35	1,32	0,35
LJ55	LEAR35	1,05	2,19
LJ60	CNA560XL	0,29	0,72
LJ75	LEAR35	1	1
P180	DHC6	1	1
P68	PA30	1	1
PA12	GASEPF	1	1
PA24	GASEPV	1	1
PA25	GASEPV	1	-
PA34	BEC58P	1	1
PAY2	CNA441	1	1
PAY3	PA42	1	1
PC12	CNA208	1	1
PC24	CNA55B	1	1
PRM1	CNA55B	1,2	1,91
S22T	COMSEP	1	-
SF34	SF340	1,23	1,15
SF50	ECLIPSE500	1	1
SU95	EMB195	1,38	0,87
SW3	DHC6	1	1
SW4	DHC6	1	1
TBM7	CNA208	1	1
TBM8	CNA441	1	1
TBM9	CNA208	1	1

Fuente: Base de datos ANP

Debido a este factor de corrección aplicado, tal como se refleja en el apartado 4.3 del presente documento, el número de operaciones a simular no coinciden exactamente con el día medio

correspondiente al año de estudio (448,44 operaciones), siendo las operaciones simuladas un total de 537,32.

En la siguiente tabla se muestran las operaciones consideradas en la simulación y su distribución en los periodos horarios, día, tarde y noche.

Tabla AII. 2. Operaciones simuladas. Aeropuerto Josep Tarradellas Barcelona–El Prat

OPERACIONES ANUALES	OPERACIONES DÍA MEDIO (OPS ANUALES/365 DÍAS)	OPERACIONES SIMULADAS FC ANP			
		TOTALES	DÍA	TARDE	NOCHE
163.682	448,44	537,32	365,71	108,11	63,51

Fuente: Elaboración propia

A continuación, se incluye una tabla con la composición de la flota y el número total de operaciones asociadas a cada modelo de aeronave desarrolladas en el aeropuerto durante el año 2021. Se incorpora también el número de operaciones totales simuladas para el MER correspondientes a cada modelo de aeronave, una vez aplicado el factor de corrección por tipo de operación desarrollada.

Tabla AII. 3. Composición de la flota año 2021

INDICATIVO OACI	TIPO DE AERONAVES	CÓDIGO AEDT	OPERACIONES PALESTRA 2021		OPERACIONES FACTOR CORRECCIÓN ANP	
			Nº OPS	%	Nº OPS	%
A140	ANTONOV An-140	HS748A	0,0064	0,0012	0,0110	0,0025
A20N	Airbus A-320 neo	A320-211	2,8002	0,5211	8,4885	1,8929
A20N	Airbus A-320 neo	A320-232	24,8902	4,6322	46,1167	10,2839
A21N	Airbus A-321 neo	A321-232	3,4952	0,6505	5,4630	1,2182
A306	AIRBUS A-300B/C/F 4-600	A300-622R	0,4778	0,0889	0,4617	0,1029
A30B	AIRBUS A-300B/C 100/200	A300B4-203	0,0796	0,0148	0,0769	0,0172
A310	AIRBUS A-310	A310-304	1,3751	0,2559	0,7200	0,1606
A318	AIRBUS A-318	A319-131	1,2095	0,2251	0,9975	0,2224
A319	AIRBUS A-319	A319-131	32,3800	6,0262	24,4214	5,4459
A320	AIRBUS A-320	A320-211	82,7579	15,4018	80,7386	18,0045
A320	AIRBUS A-320	A320-232	90,3662	16,8178	53,7891	11,9948
A321	AIRBUS A-321	A321-232	83,4717	15,5347	46,1085	10,2821
A332	AIRBUS A-330-200	A330-301	2,6687	0,4967	1,9401	0,4326
A332	AIRBUS A-330-200	A330-343	0,8849	0,1647	0,8271	0,1845
A333	AIRBUS A-330-300	A330-301	0,8785	0,1635	0,6320	0,1409

INDICATIVO OACI	TIPO DE AERONAVES	CÓDIGO AEDT	OPERACIONES PALESTRA 2021		OPERACIONES FACTOR CORRECCIÓN ANP	
			Nº OPS	%	Nº OPS	%
A333	AIRBUS A-330-300	A330-343	0,4116	0,0766	0,3847	0,0858
A339	Airbus A-330-900	A330-343	0,0055	0,0010	0,0055	0,0012
A342	AIRBUS A-340-200	A340-211	0,0064	0,0012	0,0055	0,0012
A343	AIRBUS A-340-300	A340-211	0,0065	0,0012	0,0055	0,0012
A359	AIRBUS A-350-900	A350-941	2,2167	0,4125	2,1627	0,4823
A35K	Airbus A-350-1000 Series	A350-941	0,0503	0,0094	0,0330	0,0074
A388	AIRBUS A-380-800	A380-861	0,0115	0,0021	0,0110	0,0025
AN26	ANTONOV An-26	CVR580	0,0198	0,0037	0,0110	0,0025
ASTR	IAI 1125 Gulfstream G100	IA1125	0,0440	0,0082	0,0440	0,0098
AT43	AEROSPATIALE ATR-42- 200/300/320	DHC8	0,2486	0,0463	0,2143	0,0478
AT72	AEROSPATIALE ATR-72- 101/102/201/202	HS748A	0,9952	0,1852	1,3932	0,3107
AT75	AEROSPATIALE ATR-72-500	HS748A	0,6196	0,1153	1,5471	0,3450
AT76	AEROSPATIALE ATR-72-600	DHC830	0,0989	0,0184	0,0989	0,0221
B190	BEECH 1900	1900D	0,0165	0,0031	0,0165	0,0037
B350	BEECH 300 (B300) Super King Air 350	DHC6	0,4149	0,0772	0,4149	0,0925
B38M	Boeing 737 MAX 8	7378MAX	1,3519	0,2516	1,3190	0,2941
B463	BRITISH AEROSPACE BAe- 146-300	BAE300	0,0165	0,0031	0,0165	0,0037
B733	BOEING 737-300	7373B2	0,0620	0,0115	0,0605	0,0135
B734	BOEING 737-400	737400	5,6279	1,0474	5,6279	1,2550
B735	BOEING 737-500	737500	0,5380	0,1001	0,2885	0,0643
B736	BOEING 737-600	737700	0,0197	0,0037	0,0220	0,0049
B737	BOEING 737-700	737700	3,8358	0,7139	3,0558	0,6814
B738	BOEING 737-800	737800	106,1357	19,7526	94,3411	21,0378
B739	BOEING 737-900	737800	0,9313	0,1733	0,7859	0,1753
B744	BOEING 747-400 (international winglets)	747400	0,1418	0,0264	0,1319	0,0294
B748	BOEING 747-8	7478	0,0473	0,0088	0,0440	0,0098
B752	BOEING 757-200	757PW	1,0529	0,1960	0,5359	0,1195
B752	BOEING 757-200	757RR	7,9762	1,4844	3,4872	0,7776
B762	BOEING 767-200	767CF6	0,0670	0,0125	0,0495	0,0110
B763	BOEING 767-300	767300	6,3803	1,1874	3,6796	0,8205

INDICATIVO OACI	TIPO DE AERONAVES	CÓDIGO AEDT	OPERACIONES PALESTRA 2021		OPERACIONES FACTOR CORRECCIÓN ANP	
			Nº OPS	%	Nº OPS	%
B764	BOEING 767-400	767400	1,0607	0,1974	1,0607	0,2365
B772	BOEING 777-200	777200	1,8936	0,3524	1,2256	0,2733
B773	BOEING 777-300	777300	0,0063	0,0012	0,0055	0,0012
B77L	BOEING 777-200LR	7773ER	1,3784	0,2565	1,4509	0,3236
B77W	BOEING 777-300ER	7773ER	1,5581	0,2900	1,5581	0,3475
B788	BOEING 787-8 Dreamliner	7878R	8,6114	1,6026	3,4515	0,7697
B789	BOEING 787-9 Dreamliner	7878R	6,0351	1,1232	3,0173	0,6728
B78X	BOEING 787-10 Dreamliner	7878R	0,0879	0,0164	0,0879	0,0196
BCS1	BOMBARDIER BD-500-1A10 CS100	737500	0,0605	0,0113	0,1704	0,0380
BCS3	BOMBARDIER BD-500 CSeries CS300	737700	0,8090	0,1506	2,0225	0,4510
BE20	BEECH 200 Super King Air	DHC6	0,6018	0,1120	0,6018	0,1342
BE30	BEECH 300 Super King Air	DHC6	0,0055	0,0010	0,0055	0,0012
BE35	BEECH 35 Bonanza	GASEPV	0,0027	0,0005	0,0027	0,0006
BE40	BEECH 400 Beechjet	MU3001	0,6292	0,1171	0,5881	0,1311
BE4W	Nextant 400XT Beechjet	MU3001	0,1154	0,0215	0,1154	0,0257
BE50	BEECH 50 Twin Bonanza	BEC58P	0,0055	0,0010	0,0055	0,0012
BE9L	BEECH 90 (A/B/C/D/E 90) King Air	CNA441	0,0330	0,0061	0,0330	0,0074
C130	LOCKHEED C-130 Hercules	C130	0,0055	0,0010	0,0055	0,0012
C150	CESSNA 150	CNA172	0,0055	0,0010	0,0055	0,0012
C172	CESSNA 172	CNA172	0,0055	0,0010	0,0055	0,0012
C208	CESSNA 208	CNA208	0,9178	0,1708	0,9178	0,2047
C25A	CESSNA 525A Citation CJ2	CNA525C	1,0348	0,1926	0,9783	0,2182
C25B	CESSNA 525B Citation CJ3	CNA525C	0,3770	0,0702	0,5386	0,1201
C25C	CESSNA 525C Citation CJ4	CNA525C	0,2061	0,0384	0,2061	0,0460
C25M	CESSNA 525 Citation M2	CNA525C	0,1649	0,0307	0,1649	0,0368
C421	CESSNA 421	BEC58P	0,0110	0,0020	0,0110	0,0025
C425	CESSNA 425	CNA441	0,0110	0,0020	0,0110	0,0025
C501	CESSNA 501 Citation 1SP	CNA500	0,0178	0,0033	0,0165	0,0037
C510	CESSNA 510 Citation Mustang	CNA510	2,2369	0,4163	2,2369	0,4988
C525	CESSNA 525 Citation CJ1	CNA525C	1,1660	0,2170	1,1267	0,2512

INDICATIVO OACI	TIPO DE AERONAVES	CÓDIGO AEDT	OPERACIONES PALESTRA 2021		OPERACIONES FACTOR CORRECCIÓN ANP	
			Nº OPS	%	Nº OPS	%
C550	CESSNA 550/552 Citation 2/Bravo	CNA55B	1,4096	0,2623	0,5661	0,1262
C550	CESSNA 550/552 Citation 2/Bravo	CNA560U	1,1235	0,2091	0,9810	0,2188
C55B	CESSNA 550 Citation Bravo	CNA55B	0,0879	0,0164	0,0879	0,0196
C560	CESSNA 560 Citation 5	CNA560E	0,0181	0,0034	0,0110	0,0025
C560	CESSNA 560 Citation 5	CNA560U	0,1985	0,0369	0,1264	0,0282
C56X	CESSNA 560XL Citation Excel	CNA560XL	3,2255	0,6003	2,8167	0,6281
C650	CESSNA 650 Citation 3/6/7	CIT3	0,3160	0,0588	0,2528	0,0564
C680	CESSNA 680 Citation Sovereign	CNA680	0,2985	0,0556	0,2611	0,0582
C68A	Cessna 680A Citation Latitude	CNA680	1,5801	0,2941	1,5801	0,3524
C700	CESSNA 700 Citation longitude	CNA680	0,0055	0,0010	0,0055	0,0012
C750	CESSNA 750 Citation 10	CNA750	0,0660	0,0123	0,0660	0,0147
CL30	BOMBARDIER BD-100 Challenger 300	CL600	0,0857	0,0160	0,1429	0,0319
CL35	BOMBARDIER BD-100 Challenger 350	CL600	0,7694	0,1432	0,7694	0,1716
CL60	CANADAIR CL-600 Challenger 600/601/604	CL601	0,7199	0,1340	0,6485	0,1446
CRJ2	CANADAIR CL-600 Regional Jet CRJ-200/440	CL601	1,7943	0,3339	1,7670	0,3940
CRJ9	CANADAIR CL-600 Regional Jet CRJ-705/900	CRJ9-ER	0,3753	0,0698	0,3050	0,0680
CRJX	CANADAIR CL-600 Regional Jet CRJ-1000 (CL600-2E25)	CRJ9-LR	2,5043	0,4661	2,0115	0,4486
D228	FAIRCHILD DORNIER 228	DO228	0,0165	0,0031	0,0165	0,0037
D328	FAIRCHILD DORNIER 328	DO328	0,0110	0,0020	0,0110	0,0025
DA62	DIAMOND DA-62	BEC58P	0,0055	0,0010	0,0055	0,0012
DH8D	DE HAVILLAND CANADA DHC-8-400 Dash 8	DHC830	0,7659	0,1425	0,8958	0,1998
E120	EMBRAER EMB-120 Brasilia	EMB120	2,7480	0,5114	2,7480	0,6128
E135	EMBRAER ERJ-135/140	EMB145	0,0176	0,0033	0,0165	0,0037
E145	EMBRAER EMB-145	EMB145	0,0111	0,0021	0,0110	0,0025
E170	Embraer 170/ERJ 170-100	EMB170	0,1088	0,0203	0,0989	0,0221
E190	EMBRAER 190/ERJ-190-100	EMB190	3,5119	0,6536	3,5119	0,7832
E195	EMBRAER 195/ ERJ-190-200	EMB195	2,9184	0,5431	2,9184	0,6508

INDICATIVO OACI	TIPO DE AERONAVES	CÓDIGO AEDT	OPERACIONES PALESTRA 2021		OPERACIONES FACTOR CORRECCIÓN ANP	
			Nº OPS	%	Nº OPS	%
E290	Embraer E190-E2/ERJ 190-300	EMB190	0,0440	0,0082	0,0440	0,0098
E295	Embraer E195-E2/ERJ-190-400	EMB195	0,0165	0,0031	0,0165	0,0037
E35L	EMBRAER EMB-135BJ Legacy 600	CNA55B	0,9563	0,1780	0,9563	0,2133
E50P	EMBRAER EMB-500 Phenom 100	CNA510	0,1924	0,0358	0,2583	0,0576
E545	EMBRAER EMB-545 Legacy 450	CNA750	0,1117	0,0208	0,0934	0,0208
E550	EMBRAER EMB-550 Legacy 500	CNA55B	0,2308	0,0430	0,2308	0,0515
E55P	EMBRAER EMB-505 Phenom 300	CNA560XL	1,3380	0,2490	1,5499	0,3456
E75L	EMBRAER ERJ 170-200 (long wing)	EMB175	0,7016	0,1306	0,6320	0,1409
E75S	EMBRAER ERJ 170-200 (short wing)	EMB175	0,4177	0,0777	0,3765	0,0840
EA50	ECLIPSE Eclipse 500	ECLIPSE5 00	0,0495	0,0092	0,0495	0,0110
F100	FOKKER 100	F10065	0,0462	0,0086	0,0440	0,0098
F2TH	DASSAULT Falcon 2000	CL600	0,7654	0,1424	0,3627	0,0809
F2TH	DASSAULT Falcon 2000	CL601	2,2371	0,4163	1,2723	0,2837
F406	CESSNA F406	DHC6	0,0027	0,0005	0,0027	0,0006
F900	DASSAULT-BREGUET Mystère 900	EMB14L	0,6368	0,1185	0,4122	0,0919
FA10	DASSAULT-BREGUET Falcon 10/100	LEAR35	0,0527	0,0098	0,0385	0,0086
FA50	DASSAULT-BREGUET Falcon 50	FAL20	0,0308	0,0057	0,0385	0,0086
FA7X	DASSAULT Falcon 7X	CRJ9-ER	0,2603	0,0484	0,2253	0,0502
FA8X	DASSAULT Falcon 8X	GIV	0,0714	0,0133	0,0714	0,0159
G150	IAI Gulfstream G150	IA1125	0,0477	0,0089	0,0385	0,0086
G280	Gulfstream G280	EMB145	0,0528	0,0098	0,0660	0,0147
GA5C	GULFSTREAM AEROSPACE G-7 Gulfstream G500	GV	0,0247	0,0046	0,0247	0,0055
GA6C	GULFSTREAM G600	GV	0,0660	0,0123	0,0660	0,0147
GALX	IAI 1126 Gulfstream G200	EMB145	1,2754	0,2374	1,0497	0,2341
GL5T	BOMBARDIER BD-700 Global 5000	GV	0,2295	0,0427	0,2446	0,0545

INDICATIVO OACI	TIPO DE AERONAVES	CÓDIGO AEDT	OPERACIONES PALESTRA 2021		OPERACIONES FACTOR CORRECCIÓN ANP	
			Nº OPS	%	Nº OPS	%
GL7T	Bombardier BD-700 Global 7500	BD-700- 1A10	0,0824	0,0153	0,0824	0,0184
GLEX	BOMBARDIER BD-700 Global Express	F10065	0,6941	0,1292	1,0525	0,2347
GLF4	GULFSTREAM AEROSPACE G-4 Gulfstream G300/350/400/450	GIV	0,2583	0,0481	0,2583	0,0576
GLF5	GULFSTREAM AEROSPACE G-5SP Gulfstream G500/550	GV	0,5185	0,0965	0,5084	0,1134
GLF6	GULFSTREAM AEROSPACE Gulfstream G650	G650ER	0,4204	0,0782	0,4204	0,0938
H25B	BRITISH AEROSPACE BAe- 125-700/800	IA1125	2,1739	0,4046	0,5029	0,1121
H25C	BRITISH AEROSPACE BAe- 125-1000	IA1125	0,0050	0,0009	0,0055	0,0012
HDJT	HONDA HA-420 HondaJet	CNA55B	0,1308	0,0243	0,1924	0,0429
J328	FAIRCHILD DORNIER 328JET	CNA750	0,0055	0,0010	0,0055	0,0012
LJ31	LEARJET 31	LEAR35	0,0245	0,0046	0,0220	0,0049
LJ35	LEARJET 35/36	LEAR35	0,1043	0,0194	0,0824	0,0184
LJ40	LEARJET 40	LEAR35	0,1594	0,0297	0,1594	0,0355
LJ45	LEARJET 45	LEAR35	0,3314	0,0617	0,3985	0,0889
LJ55	LEARJET 55	LEAR35	0,0356	0,0066	0,0220	0,0049
LJ60	LEARJET 60	CNA560XL	0,1146	0,0213	0,2281	0,0509
LJ75	LEARJET 75	LEAR35	0,1539	0,0286	0,1539	0,0343
P180	PIAGGIO P-180 Avanti	DHC6	0,1539	0,0286	0,1539	0,0343
P68	PARTENAVIA P-68	PA30	0,1621	0,0302	0,1621	0,0362
PA12	PIPER PA-12 Super Cruiser	GASEPF	0,0055	0,0010	0,0055	0,0012
PA24	PIPER PA-24 Comanche	GASEPV	0,0055	0,0010	0,0055	0,0012
PA25	PIPER PA-25 Pawnee	GASEPV	0,0027	0,0005	0,0027	0,0006
PA34	PIPER PA-34 Seneca	BEC58P	0,0055	0,0010	0,0055	0,0012
PAY2	PIPER PA-31T/T2-620 Cheyenne	CNA441	0,0110	0,0020	0,0110	0,0025
PAY3	PIPER PA-42-720 Cheyenne 3	PA42	0,0110	0,0020	0,0110	0,0025
PC12	PILATUS PC-12	CNA208	0,3902	0,0726	0,3902	0,0870
PC24	PILATUS PC-24	CNA55B	0,2693	0,0501	0,2693	0,0601
PRM1	RAYTHEON 390 Premier 1	CNA55B	0,1795	0,0334	0,1154	0,0257

INDICATIVO OACI	TIPO DE AERONAVES	CÓDIGO AEDT	OPERACIONES PALESTRA 2021		OPERACIONES FACTOR CORRECCIÓN ANP	
			Nº OPS	%	Nº OPS	%
S22T	CIRRUS SR-22T	COMSEP	0,0027	0,0005	0,0027	0,0006
SF34	SAAB 340	SF340	0,0981	0,0183	0,0824	0,0184
SF50	CIRRUS SF-50 Vision	ECLIPSE5 00	0,0220	0,0041	0,0220	0,0049
SU95	SUKHOI Superjet 100-95	EMB195	0,0247	0,0046	0,0220	0,0049
SW3	FAIRCHILD SWEARINGEN SA-226TB/227TT Merlin 3/Fairchild 300	DHC6	0,0165	0,0031	0,0165	0,0037
SW4	FAIRCHILD SA-226/227 Metro/Merlin/Expediter	DHC6	0,0330	0,0061	0,0330	0,0074
TBM7	SOCATA TBM-700	CNA208	0,0055	0,0010	0,0055	0,0012
TBM8	SOCATA TBM-850	CNA441	0,0055	0,0010	0,0055	0,0012
TBM9	SOCATA TBM-900	CNA208	0,0110	0,0020	0,0110	0,0025

Fuente: Elaboración propia

2. FICHERO DE TRÁFICO SIMULADO. AEROPUERTO DE JOSEP TARRADELLAS BARCELONA-EL PRAT

Tabla AII. 4. Fichero de tráfico simulado.

AERONAVE AEDT	ATERRIJAJES			DESPEGUES		
	DÍA	TARDE	NOCHE	DÍA	TARDE	NOCHE
1900D	0,0082	0,0000	0,0000	0,0055	0,0027	0,0000
7373B2	0,0317	0,0000	0,0000	0,0275	0,0000	0,0027
737400	0,2528	0,4644	2,1022	0,8052	0,9096	1,0937
737500	0,2001	0,0657	0,0214	0,1347	0,1766	0,0000
737700	1,6886	0,4309	0,0242	1,9017	0,2627	0,3565
737800	35,9196	9,7147	6,6221	35,5621	10,5439	8,7047
7378MAX	0,4727	0,1896	0,0000	0,3434	0,3145	0,0317
747400	0,0316	0,0095	0,0348	0,0385	0,0027	0,0247
7478	0,0158	0,0032	0,0063	0,0110	0,0027	0,0082
757PW	0,0000	0,0000	0,3580	0,0148	0,5692	0,1109
757RR	0,1603	0,1157	5,5023	0,0567	1,8044	0,3368
767300	1,0056	1,4349	1,5349	0,7218	0,6674	1,0157
767400	0,5276	0,0000	0,0027	0,5304	0,0000	0,0000
767CF6	0,0029	0,0202	0,0029	0,0046	0,0182	0,0182
777200	0,7642	0,0000	0,0631	1,0663	0,0000	0,0000
777300	0,0000	0,0032	0,0000	0,0031	0,0000	0,0000
7773ER	1,3468	0,0926	0,0330	1,1550	0,2296	0,0796
7878R	7,4771	0,0377	0,4964	5,0450	1,6053	0,0730
A300-622R	0,0692	0,0115	0,1616	0,1822	0,0364	0,0168
A300B4-203	0,0412	0,0000	0,0000	0,0082	0,0165	0,0137
A310-304	0,6110	0,0168	0,1065	0,5870	0,0342	0,0196
A319-131	8,9133	3,3848	1,1719	14,4279	3,6537	2,0379
A320-211	27,7717	9,7287	4,7591	32,6631	8,0918	2,5438
A320-232	36,6482	15,1457	7,3099	41,4921	11,8130	2,8473
A321-232	21,6465	7,3541	5,1091	38,8104	10,5880	3,4587
A330-301	0,9864	0,1934	0,3312	1,1593	0,4602	0,4168
A330-343	0,4961	0,0084	0,1177	0,5106	0,0616	0,1077
A340-211	0,0000	0,0056	0,0000	0,0073	0,0000	0,0000
A350-941	1,0119	0,0027	0,0853	1,1586	0,0055	0,0029
A380-861	0,0056	0,0000	0,0000	0,0059	0,0000	0,0000
BAE300	0,0082	0,0000	0,0000	0,0082	0,0000	0,0000

AERONAVE AEDT	ATERORIZAJES			DESPEGUES		
	DÍA	TARDE	NOCHE	DÍA	TARDE	NOCHE
BD-700-1A10	0,0385	0,0027	0,0000	0,0357	0,0055	0,0000
BEC58P	0,0137	0,0000	0,0000	0,0137	0,0000	0,0000
C130	0,0027	0,0000	0,0000	0,0027	0,0000	0,0000
CIT3	0,1517	0,0190	0,0038	0,1262	0,0154	0,0000
CL600	0,7031	0,1634	0,0027	0,5958	0,1243	0,0311
CL601	1,5400	0,4390	0,1254	2,2114	0,3620	0,0734
CNA172	0,0055	0,0000	0,0000	0,0055	0,0000	0,0000
CNA208	0,6293	0,0302	0,0027	0,6458	0,0110	0,0055
CNA441	0,0165	0,0137	0,0000	0,0302	0,0000	0,0000
CNA500	0,0130	0,0000	0,0000	0,0048	0,0000	0,0000
CNA510	0,8378	0,2833	0,1264	0,9763	0,1149	0,0907
CNA525C	1,2753	0,2979	0,1801	0,9075	0,1737	0,1144
CNA55B	0,8970	0,1929	0,0759	1,7409	0,2835	0,0740
CNA560E	0,0174	0,0000	0,0000	0,0007	0,0000	0,0000
CNA560U	0,3993	0,1703	0,1073	0,4895	0,0848	0,0707
CNA560XL	1,3742	0,3155	0,0462	2,5192	0,3102	0,1127
CNA680	0,6513	0,2501	0,0220	0,8582	0,0888	0,0137
CNA750	0,0622	0,0080	0,0080	0,0885	0,0096	0,0068
COMSEP	0,0027	0,0000	0,0000	0,0000	0,0000	0,0000
CRJ9-ER	0,2560	0,0375	0,0062	0,2943	0,0346	0,0069
CRJ9-LR	0,7470	0,4462	0,0473	1,1288	0,0831	0,0519
CVR580	0,0000	0,0049	0,0049	0,0050	0,0050	0,0000
DHC6	0,5743	0,0275	0,0110	0,5936	0,0192	0,0027
DHC8	0,1261	0,0467	0,0093	0,0545	0,0034	0,0085
DHC830	0,4177	0,0797	0,0000	0,3035	0,0640	0,0000
DO228	0,0000	0,0027	0,0055	0,0027	0,0000	0,0055
DO328	0,0055	0,0000	0,0000	0,0055	0,0000	0,0000
ECLIPSE500	0,0302	0,0027	0,0027	0,0330	0,0027	0,0000
EMB120	0,3105	0,3682	0,6705	0,3820	0,0192	0,9975
EMB145	0,4226	0,1295	0,0168	0,6418	0,1383	0,0077
EMB14L	0,1619	0,0235	0,0104	0,3940	0,0353	0,0118
EMB170	0,0519	0,0000	0,0000	0,0537	0,0032	0,0000
EMB175	0,5049	0,0231	0,0029	0,5562	0,0129	0,0193

AERONAVE AEDT	ATERRIZAJES			DESPEGUES		
	DÍA	TARDE	NOCHE	DÍA	TARDE	NOCHE
EMB190	1,4097	0,3188	0,0412	1,3300	0,3517	0,1044
EMB195	1,1947	0,2247	0,0632	1,1153	0,3215	0,0401
F10065	0,1749	0,0633	0,0318	0,3708	0,0677	0,0317
FAL20	0,0106	0,0000	0,0000	0,0173	0,0029	0,0000
G650ER	0,1649	0,0302	0,0165	0,1704	0,0137	0,0247
GASEPF	0,0027	0,0000	0,0000	0,0027	0,0000	0,0000
GASEPV	0,0082	0,0000	0,0000	0,0027	0,0000	0,0000
GIV	0,1292	0,0247	0,0110	0,1539	0,0055	0,0055
GV	0,3149	0,0580	0,0254	0,3397	0,0662	0,0345
HS748A	0,5573	0,3767	0,3267	0,2932	0,0563	0,0110
IA1125	0,6320	0,0871	0,0449	1,3105	0,1264	0,0697
LEAR35	0,3536	0,0822	0,0917	0,2586	0,0472	0,0285
MU3001	0,3257	0,0467	0,0000	0,3317	0,0376	0,0029
PA30	0,0797	0,0000	0,0000	0,0824	0,0000	0,0000
PA42	0,0055	0,0000	0,0000	0,0055	0,0000	0,0000
SF340	0,0169	0,0101	0,0237	0,0379	0,0032	0,0063
Total	165,7354	53,1349	38,1209	199,9719	54,9754	25,3861

Fuente: Elaboración propia

3. RÉGIMEN DE UTILIZACIÓN DE PISTAS Y TRAYECTORIAS

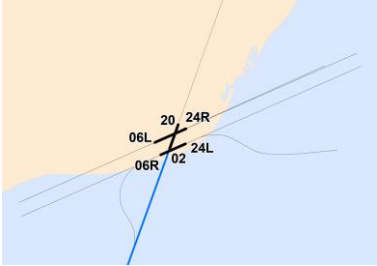
Tabla AII. 5. Características operativas de los corredores. Configuración este.

CORREDOR SIMULADO	PERIODO OPERATIVO	PISTA	PROCEDIMIENTO AIP
LLEGADAS NORMALIZADA (STAR)			
APP02	24H	02	ALBERT2N / ALBERT1X / BISBA4N / BISBA1X / CASPE2N / GRAUS2X / LOBAR3X / MARTA2N / MATEX2N / NEPAL2N / NEPAL1X / OSTUR1N / PUMAL3N / PUMAL1X / VERSO1N
APP06L	24H	06L	ALBERT1E / BISBA1E / BISBA2Y / CASPE1E / CASPE1Y / GRAUS1E / GRAUS1Y / LOBAR2E / LOBAR2Y / MARTA1Y / MARTA2E / MATEX1Y / MATEX2E / NEPAL1E / OSTUR1E / PUMAL1E / PUMAL1Y / VERSO2E
SALIDAS NORMALIZADA POR INSTRUMENTOS (SID)			
DEP06L	24H	06L	AGENA3B / CLE1B / DALIN3B / DUNES3B / GRAUS6B / LARPA3B / LOBAR5B / LOTOS3B / MOPAS7B / NATPI1B / OKABI5B / SENIA5B / VERSO3B / VLA1B / AGENA2T / DALIN2T / DUNES2T / GRAUS1T / LARPA2T / LOBAR2T / LOTOS1T / MOPAS1T / OKABI1T / SENIA1T / VERSO2T / GRAUS1A / LOBAR1A / MOPAS1A / NATPI1A / OKABI1A
DEP06R	24H	06R	AGENA2C / CLE1C / DALIN2C / DUNES2C / GRAUS2C / LARPA2C / LOBAR2C / LOTOS2C / MOPAS3C / OKABI1C / SENIA2C / VERSO2C / VLA1C / AGENA3R / DALIN3R / DUNES3R / LARPA3R / LOTOS2R / SENIA4R / VERSO3R / GRAUS2R / LOBAR3R / MOPAS2R / OKABI2R / GRASUS1Z / LOBAR2Z / MOPAS1Z / NATPI1Z / NATPI1R / OKABI1Z

Fuente: Elaboración propia

Tabla All. 6. Características operativas de los corredores. Configuración oeste.

CORREDOR SIMULADO	PERIODO OPERATIVO	PISTA	PROCEDIMIENTO AIP
LLEGADAS NORMALIZADA (STAR)			
APP24L	24H	24L	ALBER1W / BISBA1Z / CASPE1W / GRAUS1W / LOBAR1W / MARTA1Z / MATEX1Z / NEPAL1W / OSTUR1W / PUMAL1W / VERSO1W / BISBA1W / CASPE1Z / MARTA1W / MATEX1W
APP24R	24H	24R	
SALIDAS NORMALIZADA POR INSTRUMENTOS (SID)			
DEP24L	24H	24L	AGENA2F / DALIN2F / DUNES2F / LARPA2F / LOTOS2F / SENIA2F / VERSO2F / CLE1F / GRASUS2F / LOBAR2F / MOPAS1F / OKABI1F / VLA1F / AGENA4Q / DALIN3Q / DUNES4Q / LARPA4Q / LOTOS4Q / SENIA4Q / VERSO4Q / GRAUS4Q / LOBAR5Q / MOPAS3Q / NATPI1Q / OKABI3Q
DEP24R	24H	24R	AGENA4D / CLE2D / DALIN4D / DUNES4D / GRAUS7D / LARPA4D / LOBAR6D / LOTOS5D / MOPAS7D / NATPI1D / OKABI6D / SENIA7D / VERSO4D / VLA2D / AGENA3P / DALIN2P / DUNES3P / GRAUS2P / LARPA3P / LOBAR3P / LOTOS3P / MOPAS2P / OKABI2P / SENIA3P / VERSO3P

CORREDOR SIMULADO	PERIODO OPERATIVO	PISTA	PROCEDIMIENTO AIP
<p>DEP20</p> 	24H	20	AGENA1K / DALIN1K / DUNES1K / LARPA1K / LOTOS1K / SENIA1K / VERSO1K / CLE1K / GRAUS1K / LOBAR1K / MOPAS1K / OKABI1K / VLA1K / AGENA1J / DALIN1J / DUNES1J / LARPA1J / LOTOS1J / SENIA1J / VERSO1J / GRAUS1J / LOBAR1J / MOPAS1J / NATPI1J / OKABI1J

Fuente: Elaboración propia

Tabla All. 7. Porcentaje de empleo de corredores. Llegadas.

CONFIG.	PISTA	CORREDOR	%D	%T	%N	%TOTAL POR CONFIGURACIÓN
Este	02	APP02	24,80	20,27	28,95	74,02
	06L	APP06L	21,06	4,76	0,16	25,98
Oeste	24L	APP24L	9,65	3,59	4,62	17,86
	24R	APP24R	67,90	14,03	0,21	82,14

Fuente: Elaboración propia

Tabla All. 8. Porcentaje de empleo de corredores. Salidas.

CONFIG.	PISTA	CORREDOR	%D	%T	%N	%TOTAL POR CONFIGURACIÓN
Este	06L	DEP06L	0,35	0,02	0,89	1,25
	06R	DEP06R	55,15	25,09	18,51	98,75
Oeste	20	DEP20	0,16	0,00	0,00	0,16
	24L	DEP24L	80,25	16,28	2,76	99,29
	24R	DEP24R	0,50	0,01	0,03	0,55

Fuente: Elaboración propia